

МИНИСТЕРСТВО ОБРАЗОВАНИЯ И НАУКИ
РОССИЙСКОЙ ФЕДЕРАЦИИ


Федеральное государственное автономное образовательное учреждение
высшего образования

«ТЮМЕНСКИЙ ГОСУДАРСТВЕННЫЙ УНИВЕРСИТЕТ»
ИНСТИТУТ МАТЕМАТИКИ И КОМПЬЮТЕРНЫХ НАУК

Кафедра фундаментальной математики и механики

РЕКОМЕНДОВАНО К ЗАЩИТЕ В ГЭК
И ПРОВЕРЕНО НА ОБЪЕМ
ЗАИМСТВОВАНИЯ

Заведующий кафедрой

 д.ф.-м.н., доцент
Татосов А.В.

2018 г.

МАГИСТЕРСКАЯ ДИССЕРТАЦИЯ

МОДЕЛИРОВАНИЕ ВОЛН НА СЛОЕ ТЕКУЩЕЙ ЖИДКОСТИ

01.04.01 Математика

Магистерская программа «Математическое моделирование»

Выполнил работу
Студент 2 курса
очной формы обучения



Федоровых
Юрий
Юрьевич

Руководитель работы
к.ф.-м.н, доцент



Баринов
Василий
Александрович

Рецензент
к.ф.-м.н, профессор



Латфуллин
Тагир
Гумерович

Тюмень, 2018

Содержание

Введение.....	3
Постановка задачи.....	4
Решение задачи.....	6
Анализ дисперсионного уравнения.....	8
Численный эксперимент.....	12
Заключение	15
Приложение	16
Список литературы	17

Введение

Волны на поверхности слоя жидкости являются одним из распространённых видов волнового движения в природе, которые доступны для визуального наблюдения. Характеристики волн зависят от свойств и параметров среды, в которой они распространяются. Трудности исследования задач теории поверхностных волн заключаются в существенной нелинейности граничных условий на свободной поверхности, которая также является неизвестной функцией.

Важную роль в развитии теории нелинейных волн сыграла задача о стационарных волнах на поверхности идеальной жидкости, рассмотренная Стоксом и предложившим два метода решения.

Нелинейные волновые явления были предметом исследования таких выдающихся ученых, как Пуассон, Эйри, Рэлей, Буссинеск, Риман. Однако, как единая наука теория нелинейных волн сложилась в конце 1960-х – начале 1970-х годов, которые стали годами ее бурного развития. Прежде всего, причина этого — в развитии вычислительной техники, позволившей приблизиться к непосредственному численному решению задач распространения волн в различных средах, описываемые уравнениями в частных производных.

Характерными движениями жидкости являются волны и течение, а совместное проявление этого процесса – волны на течении.

Целью данной работы является решение задачи о взаимодействии волнового движения жидкости с течением линейного профиля.

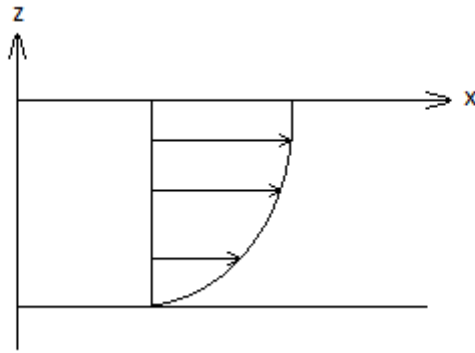
Постановка задачи

Построим математическую модель взаимодействия течения жидкости с волной, распространяющейся по свободной поверхности. Жидкость, будем считать, идеальной и несжимаемой.

Введем систему координат. Плоскость x, y параллельна поверхности недеформированного дна. Ось z перпендикулярна плоскости дна. Толщина слоя жидкости равна $H = -l$.

Слой жидкости движется в положительном направлении оси Ox с произвольным профилем течения $U(z)$. Вектор скорости, при плоскопараллельном движении, имеет вид:

$$\vec{v} = (u(x, y, z) + U(z), 0, v(x, y, z))$$



Имеем систему уравнений:

$$\begin{cases} \vec{v}_t + (\vec{v}\nabla)\vec{v} = -\frac{1}{\rho}\nabla P - g\vec{e}_z \\ \operatorname{div} \vec{v} = 0 \end{cases} \quad (1)$$

Граничные условия:

При $z = \xi(t, x)$

Кинематическое условие:

$$\xi = \xi_t + u\xi_x + U\xi_x$$

Динамическое условие:

$$p = p_0$$

При $z = -l$

$$v = 0$$

Пологая что $u \sim \varepsilon \ll 1$, обезразмерим и линеаризуем систему (1) с граничными условиями.

$$t^* = \frac{t}{c_0 k}, x^* = \frac{x}{k}, z^* = \frac{z}{k}, P^* = \rho c_0^2 P, \bar{v}^* = c_0 \bar{v}, U^* = U_0 U, \frac{g}{c_0^2 k} = \frac{1}{v^2}, \nabla^* = k \nabla$$

Где параметры со знаком * - размерные величины.

Получим:

$$\begin{cases} u_t + \kappa U u_x + v \kappa U_z = -P_x \\ v_t + \kappa U v_x = -P_z \\ u_x + v_z = 0 \end{cases} \quad (2)$$

где $\kappa = \frac{U_0}{c_0}$.

Граничные условия:

При $z = 0$

$$\begin{cases} v = (\kappa U(0) - 1) \xi_x \\ P = \frac{1}{v^2} \xi \end{cases} \quad (3)$$

При $z = -l$

$$v = 0 \quad (4)$$

Система уравнений (2) с граничными условиями (3) и (4) образуют линейную задачу о волнах на течении.

Безразмерный профиль линейного течения имеет вид:

$$U = 1 + bz$$

где $b = \frac{\Delta U}{\kappa l U_0}$.

Решение задачи

Продифференцировав первое уравнение системы (2) по z , а второе уравнение системы (2) по x .

$$u_{tz} + \kappa U_z u_x + \kappa U u_{xz} + \kappa U_z v_z + \kappa U_{zz} v = -P_{xz}$$

$$v_{tx} + \kappa U v_{xx} = -P_{xz}$$

Вычтем из первого второе, получим:

$$\omega_t + \kappa U \omega_x + v \kappa U_{zz} = 0 \quad (5)$$

где $\omega = u_z - v_x$.

Далее будем искать решение в виде:

$$v = A(z) \cos(x - t) + B(z) \sin(x - t) \quad (6)$$

В силу третьего уравнения системы (2)

$$u = -A' \sin(x - t) + B' \cos(x - t) + C(z) \quad (7)$$

$$\omega = A \sin(x - t) - B \cos(x - t) - A'' \sin(x - t) + B'' \cos(x - t) + C'(z) \quad (8)$$

Подставив (8) в (5) и сравнив коэффициенты при $\sin(x - t)$ и $\cos(x - t)$ определим $A(z)$ и $B(z)$:

$$\begin{cases} A'' + \left(\frac{\kappa U_{zz}}{1 - \kappa U} - 1 \right) A = 0 \\ B'' + \left(\frac{\kappa U_{zz}}{1 - \kappa U} - 1 \right) B = 0 \end{cases}$$

$$A(z) = \frac{D}{ch(l)} (sh(z + l))$$

$$B = CA$$

где $C, D = const$.

Получаем выражения для компонент скорости:

$$v = \frac{D}{ch(l)} \sin(x - t) sh(z + l) \quad (9)$$

$$u = \frac{D}{ch(l)} \cos(x - t) ch(z + l) \quad (10)$$

Подставив уравнения (9) и (10) в систему (2) определим P :

$$P = \frac{D}{ch(l)} \cos(x-t)(ch(z+l)(1-\kappa U) + sh(z+l)\kappa U_z) \quad (11)$$

Далее определим ξ из первого уравнения системы (3) подставив в него уравнения (9):

$$\frac{\frac{D}{ch(l)} \sin(x-t) sh(z+l)}{(\kappa U(0) - 1)} = \xi_x$$

$$\xi = -\frac{D}{ch(l)} \frac{\cos(x-t) sh(z+l)}{\kappa U - 1} \quad (12)$$

Теперь подставим (11) и (12) во второе уравнение системы (3):

$$\frac{D}{ch(l)} \cos(x-t)(ch(z+l)(1-\kappa U) + sh(z+l)\kappa U_z)$$

$$= \frac{1}{v^2} - \frac{D}{ch(l)} \frac{\cos(x-t) sh(z+l)}{\kappa U - 1}$$

И получим дисперсионное уравнение для c_0 :

$$c_0^2 + c_0(th(kl)bU_0 - 2U_0) - th(kl) \left(bU_0^2 + \frac{g}{k} \right) + U_0^2 = 0 \quad (13)$$

где $b = \frac{\Delta U}{klU_0}$.

Анализ дисперсионного уравнения

Преобразуем уравнение (13):

$$c_0^2 + c_0 p + q = 0 \quad (14)$$

где

$$p = th(kl)bU_0 - 2U_0$$

$$q = U_0^2 - th(kl) \left(bU_0^2 + \frac{g}{k} \right)$$

Уравнение (14) имеет общее решения вида:

$$c_0 = \frac{1}{2} \left(-p \pm \sqrt{p^2 - 4q} \right)$$

Данные решения должны удовлетворять условиям:

$$1) p^2 - 4q \geq 0$$

$$2) -p \pm \sqrt{p^2 - 4q} \geq 0$$

Проверим первое условие:

$$(th(kl)bU_0 - 2U_0)^2 - 4 \left(U_0^2 - th(kl) \left(bU_0^2 + \frac{g}{k} \right) \right) \geq 0$$

$$4U_0^2 - 4U_0^2 th(kl)b + th^2(kl)b^2U_0^2 - 4U_0^2 + 4U_0^2 th(kl)b + \frac{4th(kl)g}{k} \geq 0$$

$$b^2 \geq -4 \frac{g/k}{th(kl)U_0^2}$$

Данное условие всегда выполнено, так как b^2 квадрат всегда больше отрицательного числа

Выполнение второго условия зависит от вспомогательных параметров p и q .

Далее проведем анализ и определим условия при которых возможно существования c_0 .

Для того что бы

$$c_{01} = \frac{1}{2}(-p + \sqrt{p^2 - 4q}) > 0 \quad (15)$$

Необходимо что бы выполнялось условие при котором $p < 0$:

$$\begin{aligned} th(kl) \frac{\Delta U}{kl} - 2U_0 &< 0 \\ th(kl) \frac{U_0 - U_l}{kl} - 2U_0 &< 0 \\ U_0 - U_l &< \frac{2U_0 kl}{th(kl)} \\ 0 &< \left(\frac{2kl}{th(kl)} - 1 \right) U_0 + U_l \\ \frac{U_l}{U_0} &> 1 - \frac{2kl}{th(kl)} \end{aligned} \quad (16)$$

Условие (16) всегда выполнимо, так как $\frac{2kl}{th(kl)} > 1$.

Решение имеет вид:

$$c_{01} = \left(th(kl) \frac{\Delta U}{2kl} - U_0 \right) \left(-1 + \sqrt{1 - 4 \frac{U_0^2 - th(kl) \left(\frac{\Delta U}{kl} U_0 + \frac{g}{k} \right)}{\left(\frac{1}{2} th(kl) \frac{\Delta U}{kl} - 2U_0 \right)^2}} \right)$$

В случае мелкой воды $l \ll \lambda$ условие (16) примет вид:

$$U_0 > -U_l$$

которое выполняется всегда.

Тогда c_{01} примет вид:

$$c_{01} = \frac{1}{2} \left(U_0 + U_l + \sqrt{(-U_0 - U_l)^2 - 4(U_l U_0 - gl)} \right)$$

В случае глубокой воды $l \gg \lambda$ условие (16) примет вид:

$$\frac{U_l}{U_0} < 1 - 2kl < 0$$

Тогда c_{01} примет вид:

$$c_{01} = \frac{1}{2} \left(-\frac{\Delta U}{kl} + 2U_0 + \sqrt{\left(\frac{\Delta U}{kl} - 2U_0\right)^2 - 4\left(U_0^2 - \frac{\Delta U}{kl}U_0 - \frac{g}{k}\right)} \right)$$

Для того что бы

$$c_{02} = \frac{1}{2}(-p - \sqrt{p^2 - 4q}) > 0 \quad (17)$$

Необходимо что бы выполнялось условие при котором $p < 0$ и $q > 0$:

$$\frac{U_l}{U_0} > 1 - \frac{2kl}{th(kl)} \quad (18)$$

как было доказано выше, данное условие выполнимо всегда.

Проверим условие $q > 0$:

$$U_0^2 - th(kl) \left(\frac{U_0 - U_l}{kl} U_0 + \frac{g}{k} \right) > 0$$

$$U_0^2 + U_0 \frac{U_l th(kl)}{kl - th(kl)} - \frac{th(kl)gl}{kl - th(kl)} > 0$$

Данное уравнение имеет два корня:

$$U_{01} = \frac{1}{2} \frac{th(kl)U_l}{kl - th(kl)} \left(-1 - \sqrt{1 + 4 \frac{kl - th(kl)gl}{th(kl)U_l^2}} \right)$$

$$U_{02} = \frac{1}{2} \frac{th(kl)U_l}{kl - th(kl)} \left(-1 + \sqrt{1 + 4 \frac{kl - th(kl)gl}{th(kl)U_l^2}} \right)$$

Так как выражение

$$\frac{kl - th(kl)gl}{th(kl)U_l^2} > 0$$

То корень $U_{01} < 0$, а значит не подходит для нашей задачи.

Следовательно имеем условие для $q > 0$:

$$U_0 > \frac{1}{2} \frac{th(kl)U_l}{kl-th(kl)} \left(-1 + \sqrt{1 + 4 \frac{kl-th(kl)gl}{th(kl)U_l^2}} \right) \quad (19)$$

Решение имеет вид:

$$c_{02} = \left(th(kl) \frac{\Delta U}{2kl} - U_0 \right) \left(-1 - \sqrt{1 - 4 \frac{U_0^2 - th(kl) \left(\frac{\Delta U}{kl} U_0 + \frac{g}{k} \right)}{\left(\frac{1}{2} th(kl) \frac{\Delta U}{kl} - 2U_0 \right)^2}} \right)$$

В случае мелкой воды $l \ll \lambda$ условия (18) и (19) примут вид:

$$U_0 > -U_l$$

$$U_0 > \infty$$

Так как $U_0 > \infty$ не может быть выполнено, значит c_{02} при условии мелкой воды не существует.

В случае глубокой воды $l \gg \lambda$ условия (18) и (19) примут вид:

$$\frac{U_l}{U_0} > 1 - 2kl$$

$$U_0 > \frac{1}{2} \left(-\frac{U_l}{kl-1} + \sqrt{\left(\frac{U_l}{kl-1} \right)^2 + 4 \frac{gl}{kl-1}} \right)$$

Тогда c_{02} примет вид:

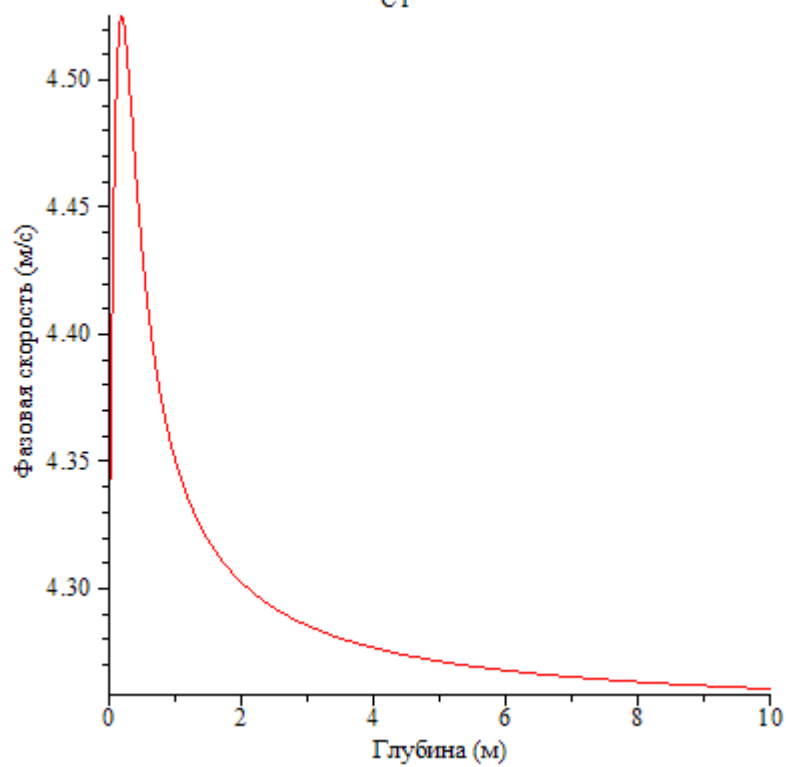
$$c_{02} = \frac{1}{2} \left(-\frac{\Delta U}{kl} + 2U_0 - \sqrt{\left(\frac{\Delta U}{kl} - 2U_0 \right)^2 - 4 \left(U_0^2 - \left(\frac{\Delta U}{kl} U_0 + \frac{g}{k} \right) \right)} \right)$$

Численный эксперимент

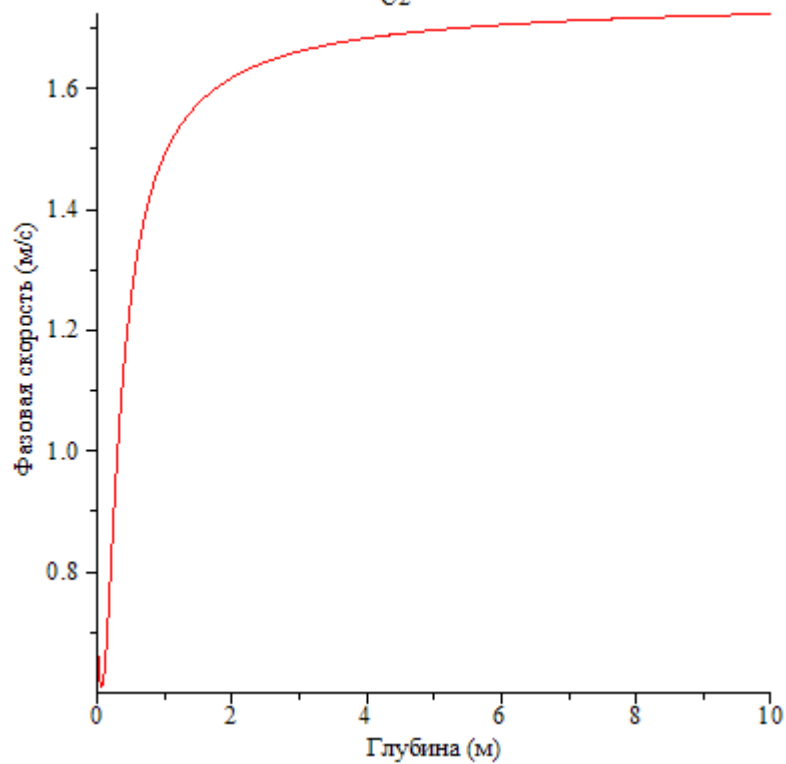
Построим графики зависимости фазовой скорости от глубины.

$$U_0 = 3 \frac{\text{м}}{\text{с}}, U_l = 1 \frac{\text{м}}{\text{с}}, \lambda = 1, k = \frac{2\pi}{\lambda}$$

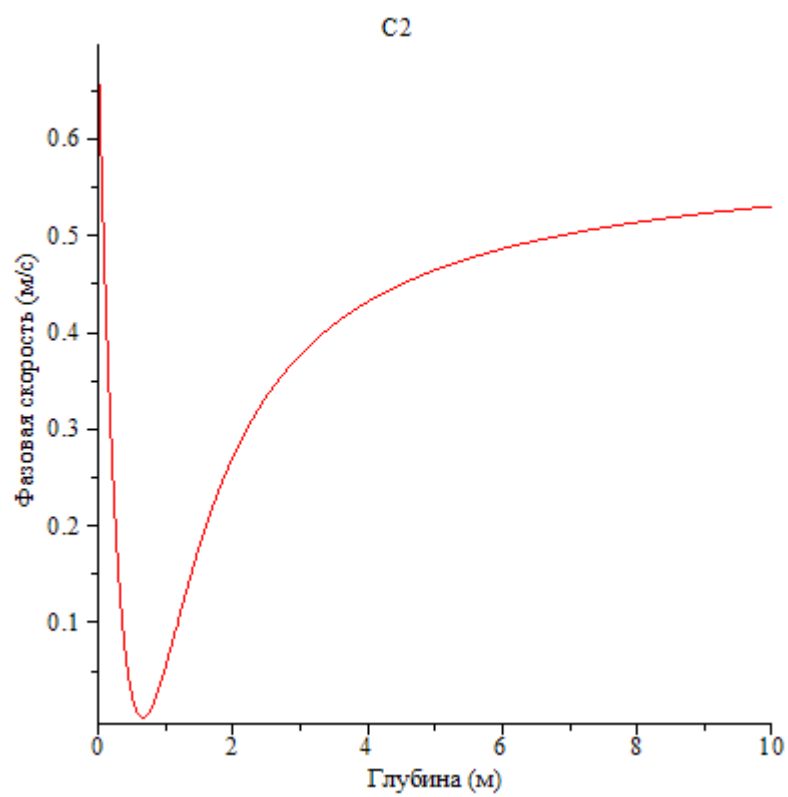
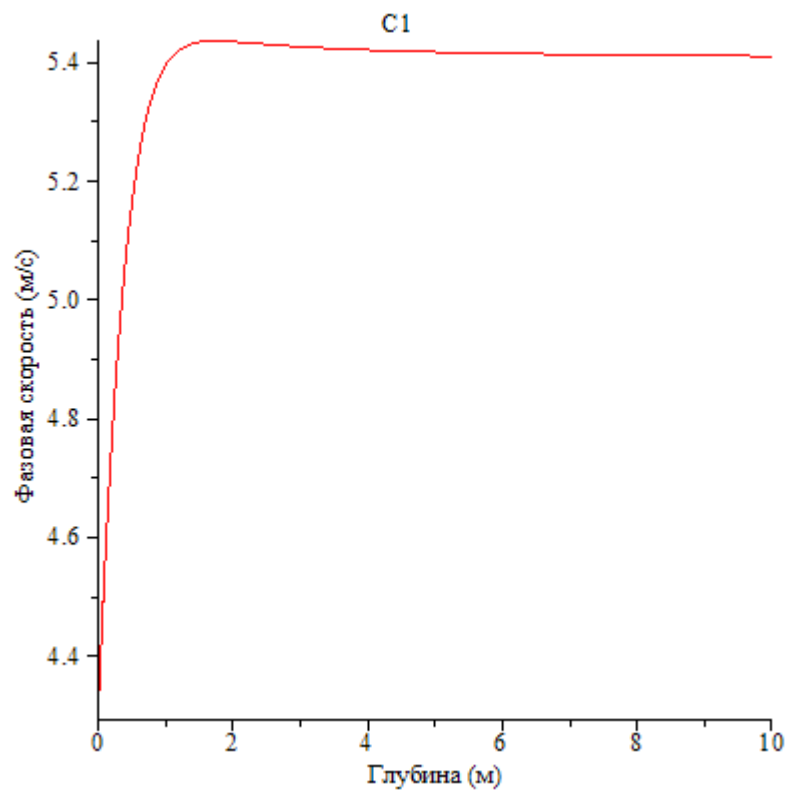
С1



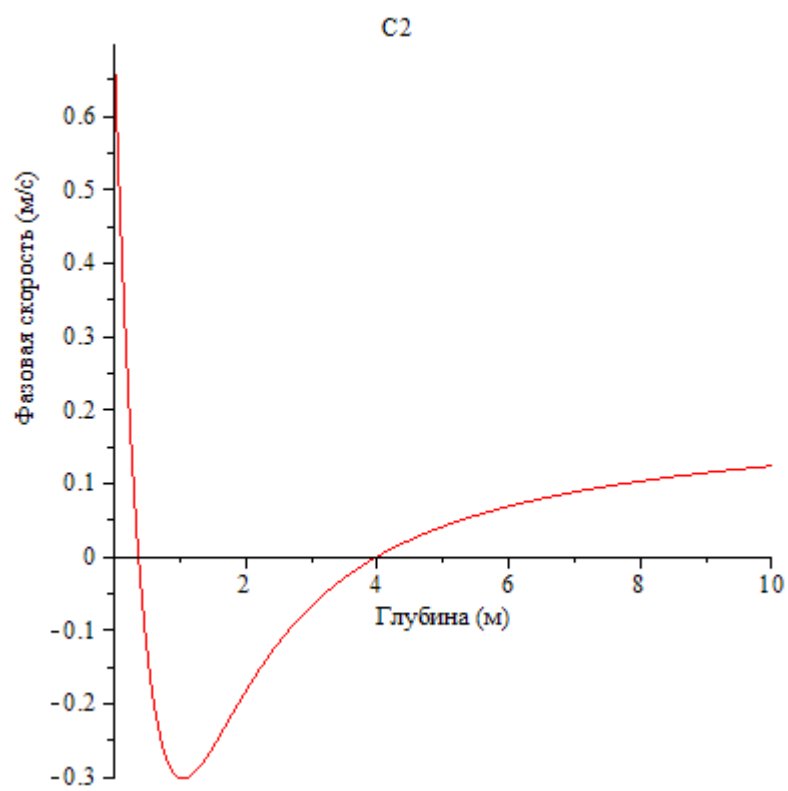
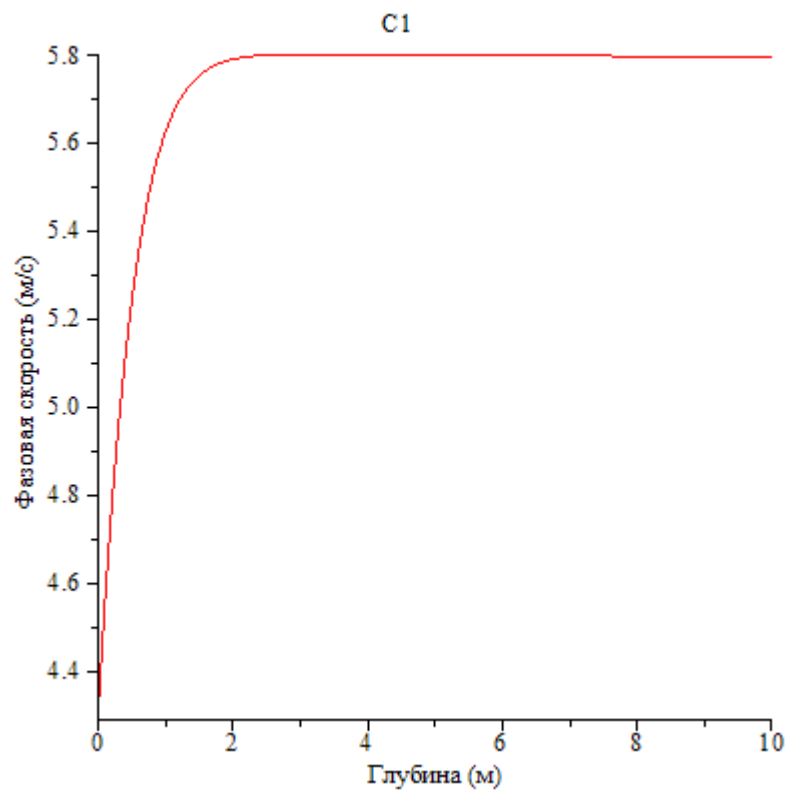
С2



$$U_0 = 3 \frac{\text{м}}{\text{с}}, U_l = 1 \frac{\text{м}}{\text{с}}, \lambda = 10, k = \frac{2\pi}{\lambda}$$



$$U_0 = 3 \frac{\text{м}}{\text{с}}, U_l = 1 \frac{\text{м}}{\text{с}}, \lambda = 5, k = \frac{2\pi}{\lambda}$$



Заключение

В ходе решения задачи были найдены два выражения для фазовой скорости. В результате численного эксперимента было определено что фазовая скорость c_{02} характерна для коротковолнового течения, а c_{01} для длинноволнового. Так же были получены:

- выражения для скорости волнового движения и формы свободной поверхности;
- дисперсионное уравнение для течения с линейным профилем.

Приложение

```
> restart;
> lambda := 1 : k :=  $\frac{2 \cdot \text{Pi}}{\text{lambda}}$  : U0 := 3 : U1 := 1 : g := 9.81 :
> P :=  $\frac{\tanh(k \cdot l)(U0 - U1)}{k \cdot l} - 2 \cdot U0$  :
> Q :=  $U0^2 - \tanh(k \cdot l) \cdot \left( \frac{(U0 - U1)}{k \cdot l} \cdot U0 + \frac{g}{k} \right)$  :
> C1 :=  $\frac{1}{2} \cdot (-P + \text{sqrt}(P^2 - 4 \cdot Q))$  :
> C2 :=  $\frac{1}{2} \cdot (-P - \text{sqrt}(P^2 - 4 \cdot Q))$  :
> plot(C1, l = 0 .. 10, numpoints = 10000, title = "C1", labels
    = ["Глубина (м)", "Фазовая скорость (м/с)], labeldirections
    = [HORIZONTAL, VERTICAL]);
plot(C2, l = 0 .. 10, numpoints = 10000, title = "C2", labels
    = ["Глубина (м)", "Фазовая скорость (м/с)], labeldirections
    = [HORIZONTAL, VERTICAL]);
```


Список литературы

- 1) Алешков Ю.З. Теория волн на поверхности тяжелой жидкости: Учеб. пособие. – Л: Изд-во Ленингр. Ун-та, 1981. 196 стр.
- 2) Кочин Н.Е., Кибель И.А., Розе Н.В. Теоритическая гидромеханика, Ч.1, М.: Гос. Изд. физико-математической литературы, 1963, 584 стр.